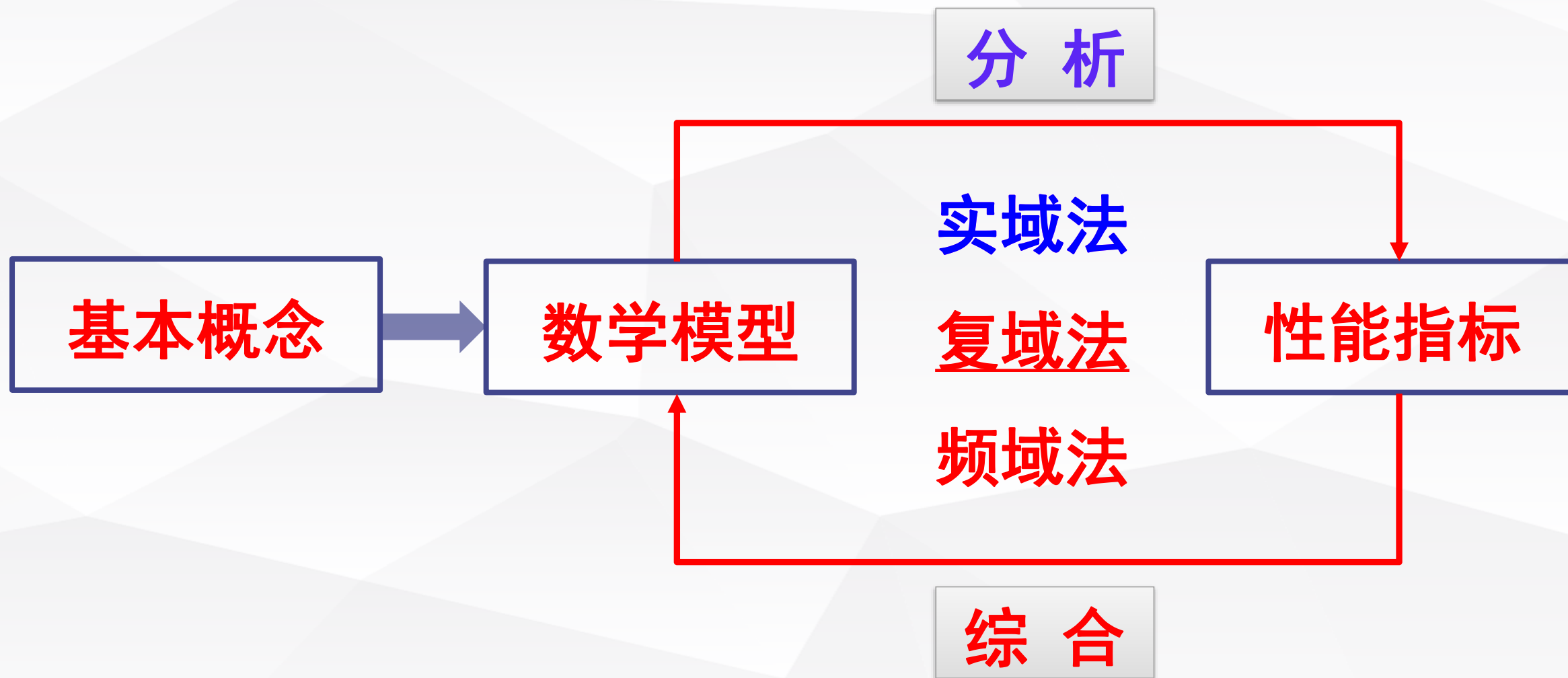


第七讲

作业：

B4.1, B4.4, B4.5, B4.7

本课程知识体系脉络图



第四章：控制系统的复数域分析与综合

§ 4.1 根轨迹的基本概念

§ 4.2 根轨迹的绘制

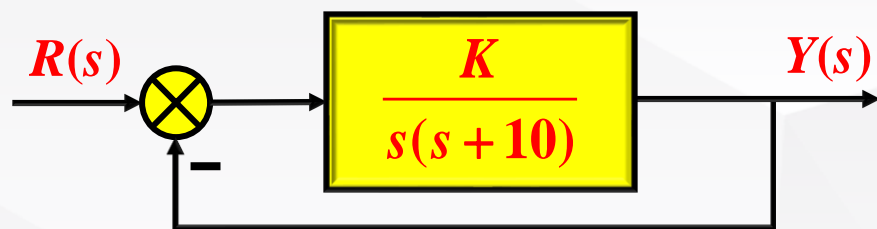
§ 4.3 利用MATLAB绘制系统根轨迹

§ 4.4 控制系统性能的复域分析

§ 4.5 控制系统的根轨迹综合

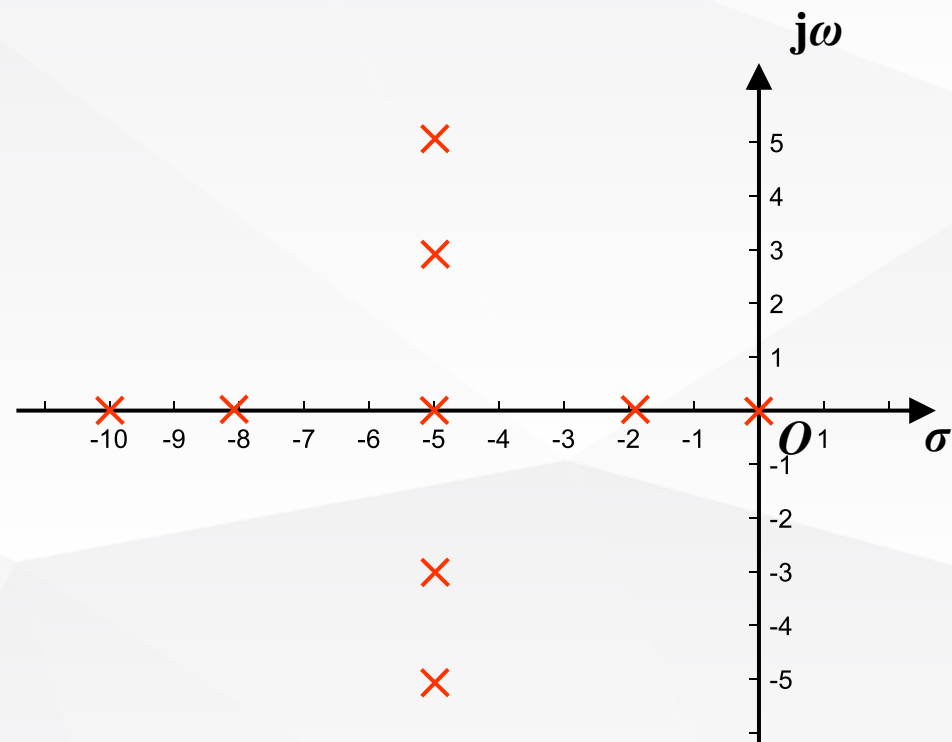
§ 4.1 根轨迹的基本概念

例：考虑如下的单位反馈系统，试考察其闭环极点随参数 K 变化的运动轨迹以及性能指标的变化趋势。



闭环极点: $p_{1,2} = -5 \pm \sqrt{25 - K}$

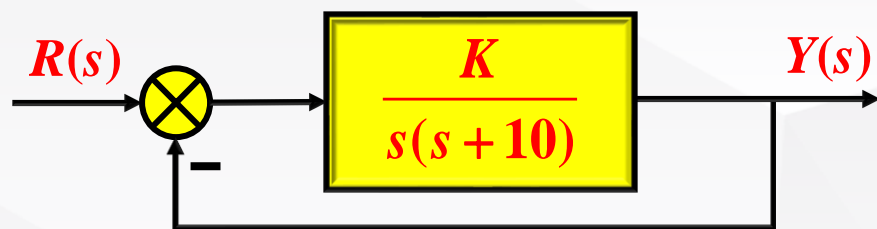
K	p_1	p_2
0	0	10
15	-1.84	-8.16
25	-5	-5
35	$-5 - j3.16$	$-5 + j3.16$
50	$-5 - j5$	$-5 + j5$



闭环极点运动轨迹示意图

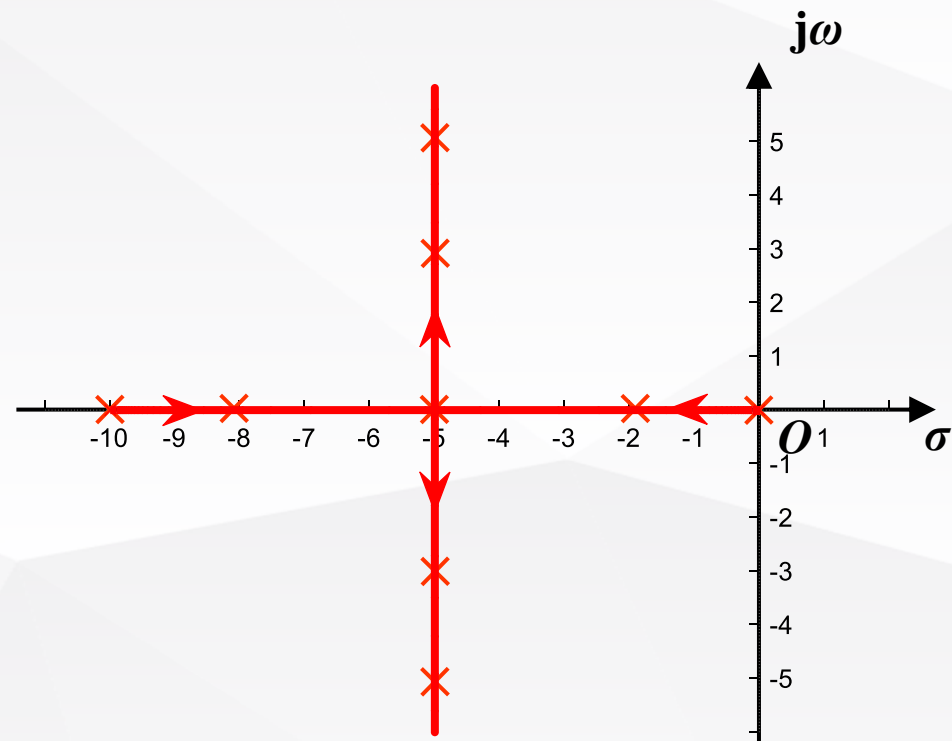
§ 4.1 根轨迹的基本概念

例：考虑如下的单位反馈系统，试考察其闭环极点随参数 K 变化的运动轨迹以及性能指标的变化趋势。



闭环极点： $p_{1,2} = -5 \pm \sqrt{25 - K}$

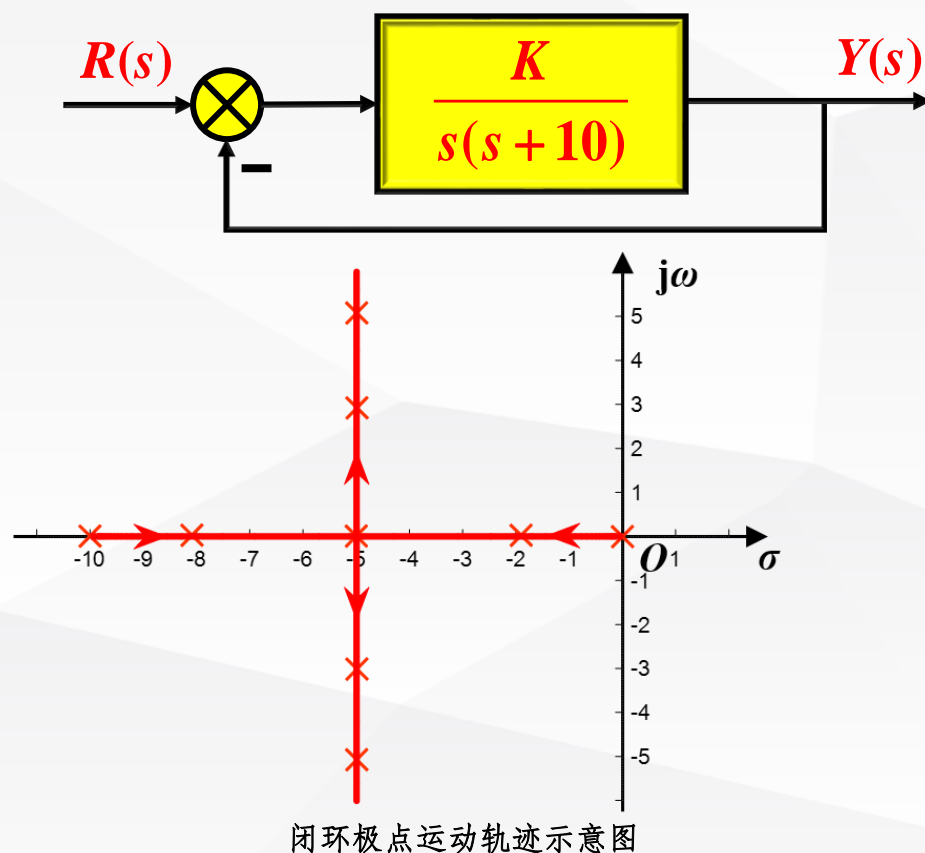
K	p_1	p_2
0	0	10
15	-1.84	-8.16
25	-5	-5
35	$-5 - j3.16$	$-5 + j3.16$
50	$-5 - j5$	$-5 + j5$



闭环极点运动轨迹示意图

§ 4.1 根轨迹的基本概念

例：考虑如下的单位反馈系统，试考察其闭环极点随参数 K 变化的运动轨迹以及性能指标的变化趋势。



稳定性： 当 $K > 0$ 时，系统是稳定的。

暂态特性：

当 $K < 25$ 时：系统处于过阻尼状态；

当 $K = 25$ 时：系统处于临界阻尼状态；

当 $K > 25$ 时：系统处于欠阻尼状态；

当 $K \geq 25$ 时：复数极点实部相等，调整时间不变；但随着复数极点虚部的增加，系统阻尼比减少，超调量增加，峰值时间下降。

稳态特性：

系统为I型系统；对于斜坡信号，随 K 增大，稳态误差减小，对于阶跃型号，稳态误差为0。

§ 4.1 根轨迹的基本概念

根轨迹

根据系统开环传递函数的零极点分布，当系统可变参数在可能的取值范围内（通常是0到 $+\infty$ ）变化时系统的闭环极点在复平面内变化所描绘出来的轨迹，叫做系统的根轨迹。

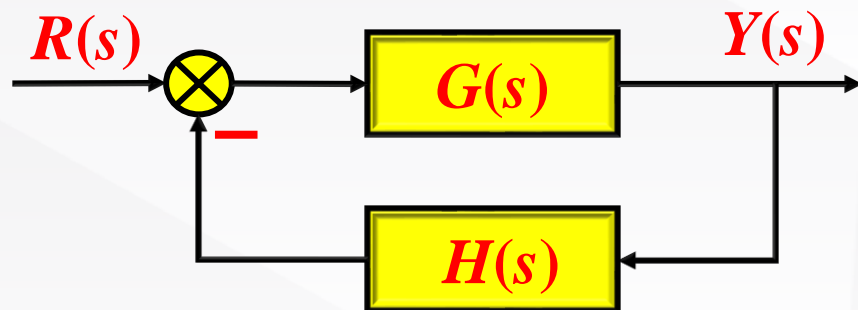
工程适用性：

- ①图解法：形象直观、简单实用，是一种近似方法；
- ②用较简单的系统开环传递函数来分析闭环系统特性；
- ③特别适合于研究当系统中某一参数变化时系统性能的变化趋势；
- ④受控系统的传递函数无零极点相消现象。

§ 4.1 根轨迹的基本概念

幅值条件与辐角条件

考虑如下反馈系统：



闭环传递函数为：

$$\Phi(s) = \frac{G(s)}{1 + G(s)H(s)} = \frac{G(s)}{1 + G_k(s)}$$

闭环特征方程为：

$$1 + G_k(s) = 0$$

复数 s 为系统闭环特征根的充要条件是：

$$G_k(s) = -1$$

化为复数形式：

· 幅值条件：

$$|G_k(s)| = 1$$

· 辐角条件：

$$\angle G_k(s) = (2k+1) \times 180^\circ$$

其中 $k=0, \pm 1, \pm 2, \dots$

§ 4.1 根轨迹的基本概念

幅值条件与辐角条件

根据梅森增益公式，多闭环系统的等效开环传递函数：

$$G_k(s) = (-1)^1 \sum_i L_i + (-1)^2 \sum_{i,j} L_i L_j + (-1)^3 \sum_{i,j,h} L_i L_j L_h + \cdots$$

将开环传递函数分子、分母最高次项系数化为 1，即“首1型”：

$$G_k(s) = K_g \frac{\prod_{i=1}^m (s - z_i)}{\prod_{j=1}^n (s - p_j)}, \quad n \geq m$$

其中 K_g 称为（开环）根轨迹增益。

§ 4.1 根轨迹的基本概念

幅值条件与辐角条件的几何意义

幅值条件的几何意义：

所有开环零点 z_i 引向点 s 的向量的幅值之积，与所有开环极点 p_j 引向点 s 的向量的幅值之积的比值，即根轨迹上点 s 对应的根轨迹增益值 K_g 。

$$K_g = \frac{\prod_{j=1}^m |s - p_j|}{\prod_{i=1}^n |s - z_i|}$$

- 对复平面上任意点 s ，总存在一个 K_g 使其满足幅值条件，但该点不一定在根轨迹上；
- 因此仅根据幅值条件无法判定点 s 是否在根轨迹上。
- 满足辐角条件的点 s 自然满足幅值条件；根轨迹上某点 s 对应的 K_g 由幅值条件确定。

§ 4.1 根轨迹的基本概念

幅值条件与辐角条件的几何意义

辐角条件的几何意义：

若所有开环零点 z_i 引向点 s 的向量的辐角之和，与所有开环极点 p_j 引向点 s 的向量的辐角之和的差值恰好为 180° 的奇数倍，则点 s 在根轨迹上。

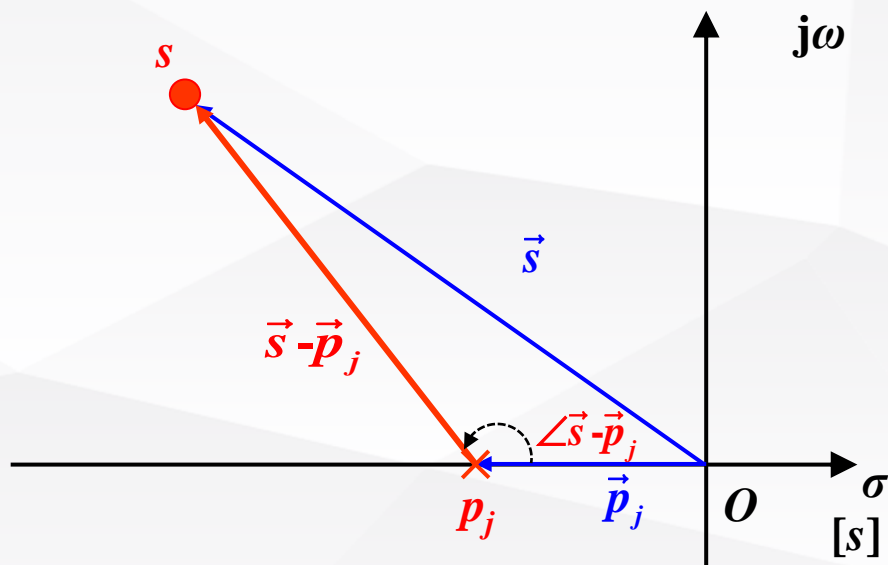
$$\begin{aligned}\angle G_k(s) &= \sum_{i=1}^m \angle(s - z_i) - \sum_{j=1}^n \angle(s - p_j) \\ &= (2k + 1) \times 180^\circ, k=0, \pm 1, \pm 2, \dots\end{aligned}$$

§ 4.1 根轨迹的基本概念

幅值条件与辐角条件的几何意义

辐角条件的几何意义：

若所有开环零点 z_i 引向点 s 的向量的辐角之和，与所有开环极点 p_j 引向点 s 的向量的辐角之和的差值恰好为 180° 的奇数倍，则点 s 在根轨迹上。



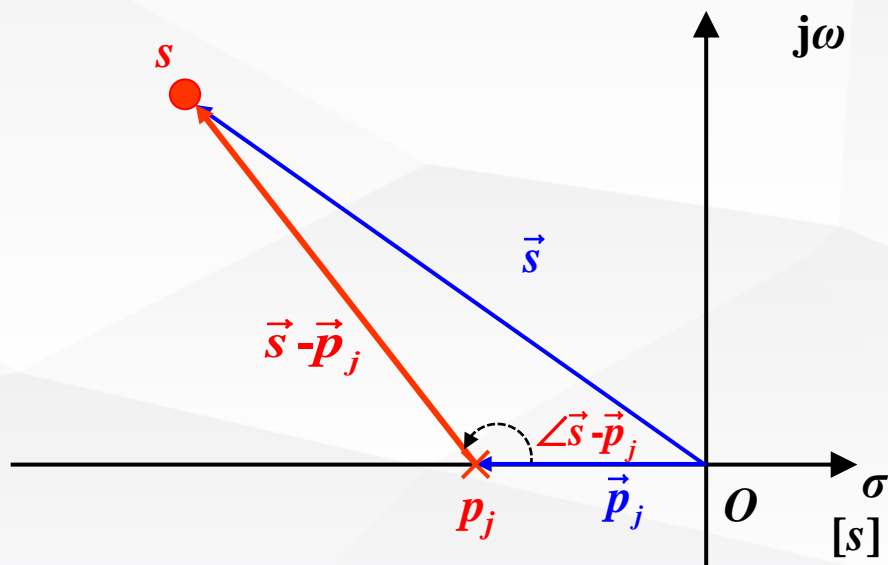
开环极点 p_j 引向点 s 的向量辐角示意图

§ 4.1 根轨迹的基本概念

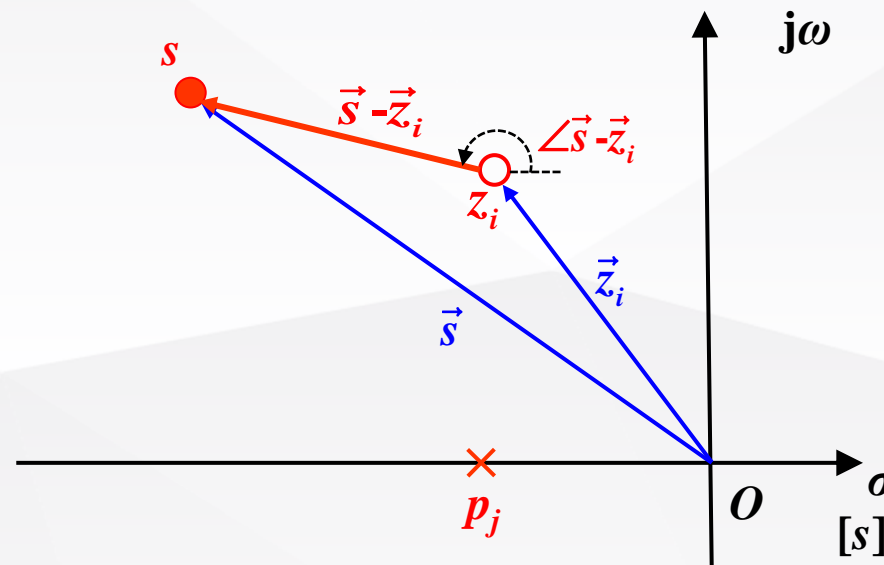
幅值条件与辐角条件的几何意义

辐角条件的几何意义：

若所有开环零点 z_i 引向点 s 的向量的辐角之和，与所有开环极点 p_j 引向点 s 的向量的辐角之和的差值恰好为 180° 的奇数倍，则点 s 在根轨迹上。



开环极点 p_j 引向点 s 的向量辐角示意图



开环零点 z_i 引向点 s 的向量辐角示意图

§ 4.1 根轨迹的基本概念

幅值条件与辐角条件的几何意义

辐角条件的几何意义：

若所有开环零点 z_i 引向点 s 的向量的辐角之和，与所有开环极点 p_j 引向点 s 的向量的辐角之和的差值恰好为 180° 的奇数倍，则点 s 在根轨迹上。

$$\begin{aligned}\angle G_k(s) &= \sum_{i=1}^m \angle(s - z_i) - \sum_{j=1}^n \angle(s - p_j) \\ &= (2k + 1) \times 180^\circ, k=0, \pm 1, \pm 2, \dots\end{aligned}$$

由于复平面上任意满足辐角条件的点 s 同时必定满足幅值条件，故：

根轨迹基本定理

复平面上某一点 s 位于根轨迹上的充要条件是其满足辐角条件。

§ 4.2 根轨迹的绘制

根轨迹绘制基本原则

规则1：根轨迹的起点和终点：根轨迹起始于开环极点，终止于开环零点；如果开环零点个数 m 少于开环极点个数 n ，则有 $(n-m)$ 条根轨迹终止于无穷远。

注：根据幅值条件：

$$K_g = \frac{\prod_{j=1}^n |s - p_j|}{\prod_{i=1}^m |s - z_i|} = s^{n-m} \cdot \frac{\prod_{j=1}^n \left| 1 - \frac{p_j}{s} \right|}{\prod_{i=1}^m \left| 1 - \frac{z_i}{s} \right|}$$

- 当 $s \rightarrow p_j$ 时， $K_g \rightarrow 0$ ，为根轨迹**起点**；
- 当 $s \rightarrow z_i$ 时， $K_g \rightarrow +\infty$ ，为根轨迹**终点**；
- 当 $|s| \rightarrow +\infty$ 且 $n > m$ 时， $K_g \rightarrow +\infty$ ，为根轨迹**终点**。

§ 4.2 根轨迹的绘制

规则2：根轨迹的分支数、对称性和连续性：根轨迹的分支数与开环零点个数 m 和开环极点个数 n 的较大者相等（一般地， $n \geq m$ ，此时根轨迹的分支数等于开环极点个数 n ）；根轨迹连续并对称于实轴。

注：分支数：根轨迹分支数必与闭环极点的数目一致，因此必然和系统的阶数保持一致。

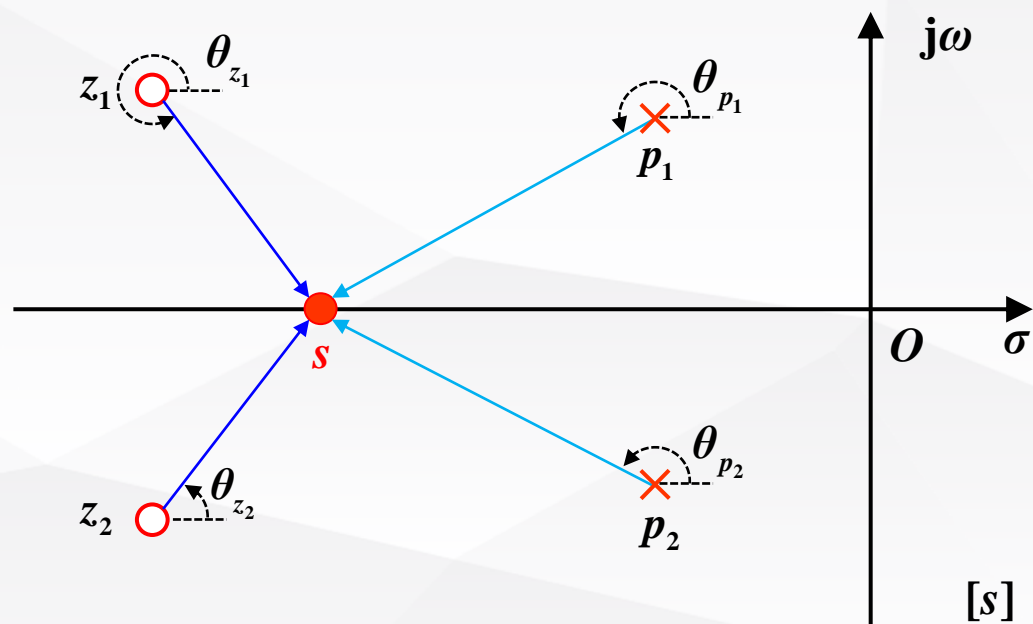
连续性：特征方程的系数随着参数 K_g 连续变化，因此特征根也必定是连续变化的，故根轨迹具有连续性。

对称性：特征方程是实系数方程，其根必定是实数或者共轭复数，故根轨迹必定关于实轴对称。故只需画出复平面上半部和实轴上的根轨迹，下半部根轨迹可由对称性画出。

§ 4.2 根轨迹的绘制

规则3：实轴上的根轨迹：实轴上的某一区域，若其右边的开环实数零、极点个数之和为奇数，则该区域必为根轨迹。

注：考查各类开环零极点在辐角条件中的贡献：



共轭复数开环零、极点到点s的向量辐角示意图

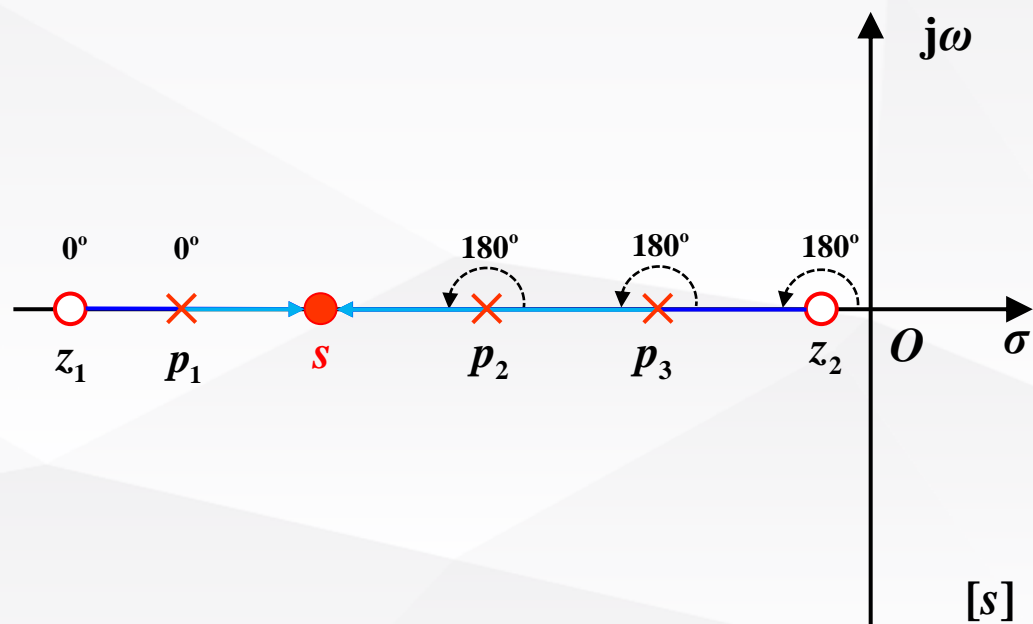
$$\begin{aligned}\angle G_k(s) &= \sum_{i=1}^m \angle(s - z_i) - \sum_{j=1}^n \angle(s - p_j) \\ &= (2k + 1) \times 180^\circ, k=0, \pm 1, \pm 2, \dots\end{aligned}$$

- 一对共轭复数开环零点的辐角在辐角条件中的贡献值为 $\theta_{z1} + \theta_{z2} = +360^\circ$ ；
- 一对共轭复数开环极点的辐角在辐角条件中的贡献值为 $-\theta_{p1} - \theta_{p2} = -360^\circ$ ；

§ 4.2 根轨迹的绘制

规则3：实轴上的根轨迹：实轴上的某一区域，若其右边的开环实数零、极点个数之和为奇数，则该区域必为根轨迹。

注：考查各类开环零极点在辐角条件中的贡献：



实轴上实数开环零、极点到点s的向量辐角示意图

$$\begin{aligned}\angle G_k(s) &= \sum_{i=1}^m \angle(s - z_i) - \sum_{j=1}^n \angle(s - p_j) \\ &= (2k + 1) \times 180^\circ, k=0, \pm 1, \pm 2, \dots\end{aligned}$$

- 点s左侧每个开环零点贡献 0° ；
- 点s左侧每个开环极点贡献 0° ；
- 点s右侧每个开环零点贡献 $+180^\circ$ ；
- 点s左侧每个开环极点贡献 -180° ；

§ 4.2 根轨迹的绘制

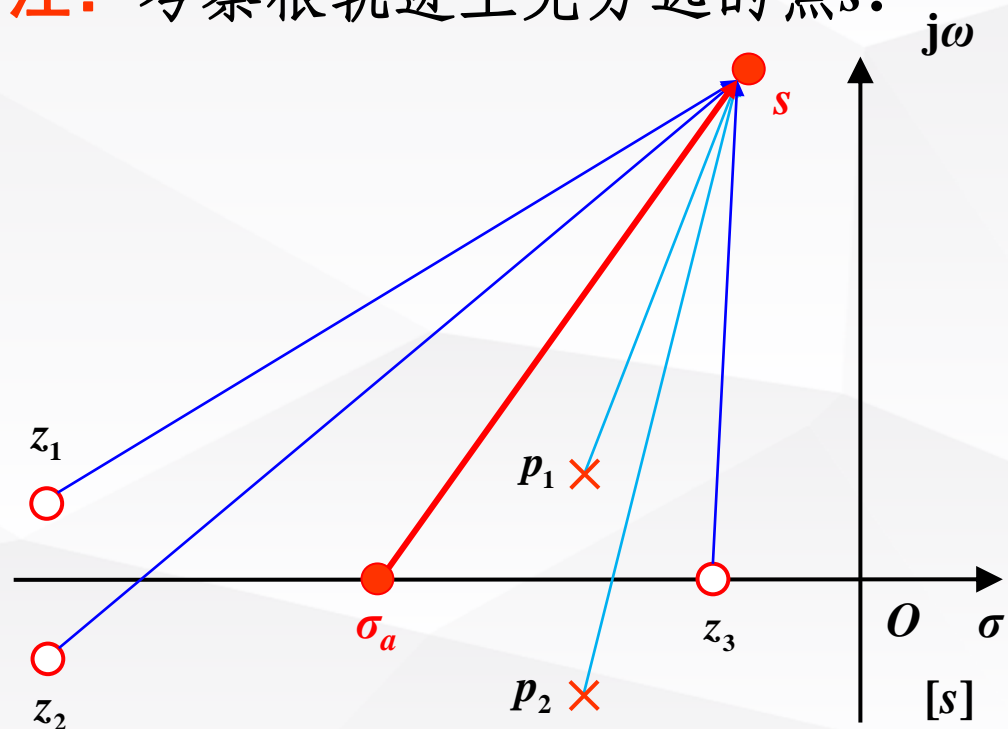
规则4：根轨迹的渐近线：当系统开环极点个数 n 大于开环零点个数 m 时，由 $n-m$ 条根轨迹分支沿着与实轴夹角 φ_a 、交点为 σ_a 的一组渐近线趋于无穷远处。其中：

$$\sigma_a = \frac{\sum_{j=1}^n p_j - \sum_{i=1}^m z_i}{n - m}, \quad \varphi_a = \frac{(2k + 1)\pi}{n - m}, \quad k = 0, \pm 1, \pm 2, \dots$$

§ 4.2 根轨迹的绘制

规则4：根轨迹的渐近线：当系统开环极点个数 n 大于开环零点个数 m 时，由 $n-m$ 条根轨迹分支沿着与实轴夹角 φ_a 、交点为 σ_a 的一组渐近线趋于无穷远处。

注：考察根轨迹上充分远的点 s ：



根轨迹渐近线与实轴交点示意图

由幅值条件：

$$-K_g = \frac{\prod_{j=1}^n (s - p_j)}{\prod_{i=1}^m (s - z_i)} = (s - \sigma_a)^{n-m} \quad (|s| \rightarrow +\infty \text{ 时: } z_i = p_j = \sigma_a)$$

$$= s^{n-m} - \sigma_a(n-m)s^{n-m-1} + \dots$$

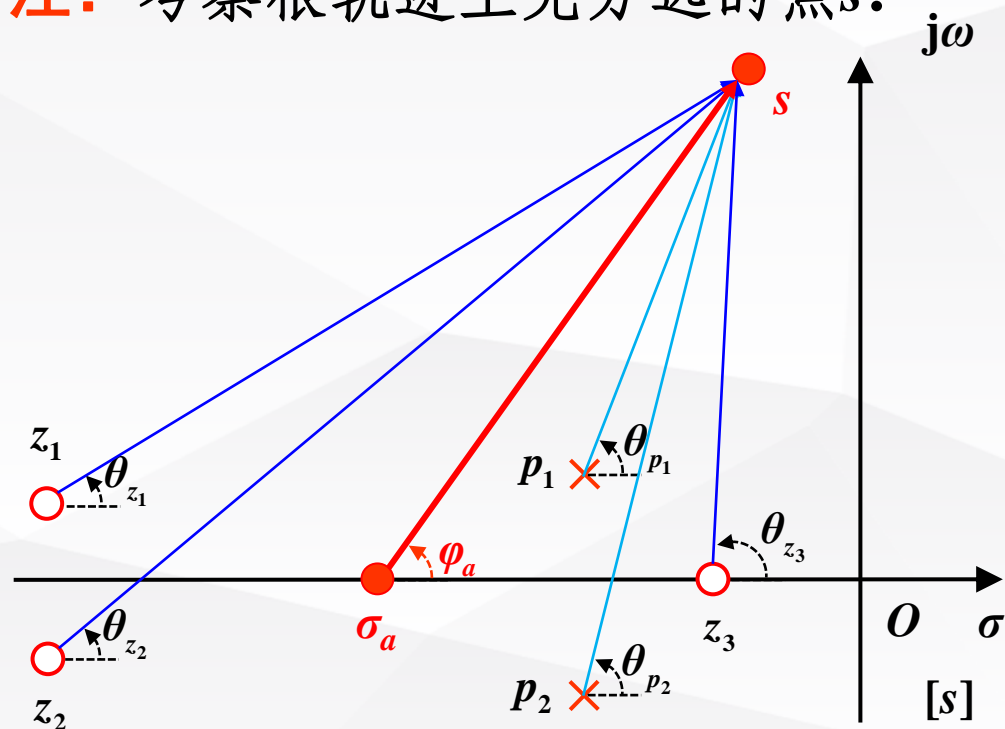
$$-K_g = \frac{\prod_{j=1}^n (s - p_j)}{\prod_{i=1}^m (s - z_i)} = \frac{s^n - (\sum_{j=1}^n p_j)s^{n-1} + \dots}{s^m - (\sum_{i=1}^m z_i)s^{m-1} + \dots}$$

$$= s^{n-m} - (\sum_{j=1}^n p_j - \sum_{i=1}^m z_i)s^{n-m-1} + \dots$$

§ 4.2 根轨迹的绘制

规则4：根轨迹的渐近线：当系统开环极点个数 n 大于开环零点个数 m 时，由 $n-m$ 条根轨迹分支沿着与实轴夹角 φ_a 、交点为 σ_a 的一组渐近线趋于无穷远处。

注：考察根轨迹上充分远的点 s ：



根轨迹渐近线与实轴交点示意图

当 $|s| \rightarrow +\infty$ 时，点 s 引向任意有限开环零、极点的向量的辐角都是相等的，即：

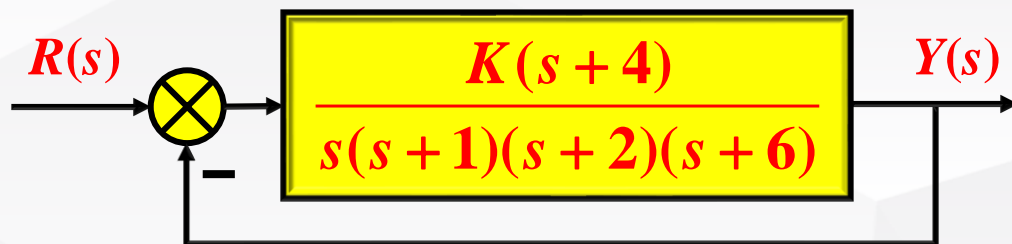
$$\theta_z = \theta_p = \varphi_a$$

由辐角条件：

$$\begin{aligned} & \sum_{i=1}^m \angle(s - z_i) - \sum_{j=1}^n \angle(s - p_j) \\ &= m\varphi_a - n\varphi_a \\ &= (m - n)\varphi_a \\ &= (2k + 1)\pi, k = 0, \pm 1, \pm 2, \dots \end{aligned}$$

§ 4.2 根轨迹的绘制

例：试绘制如下单位反馈系统的根轨迹概略图。



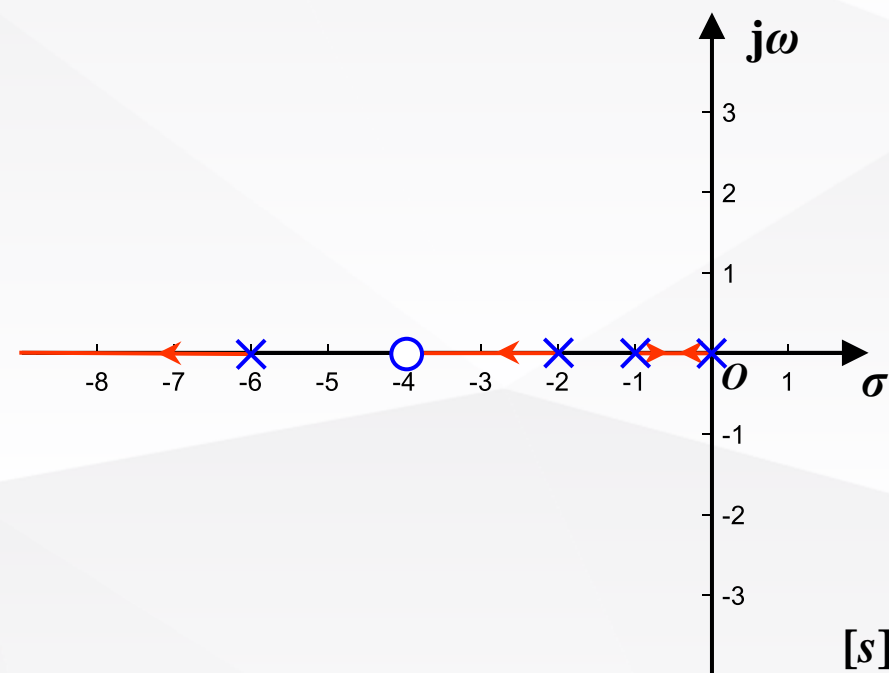
该系统的根轨迹概略图绘制如下：

解：开环传递函数为： $G_k(s) = \frac{K(s+4)}{s(s+1)(s+2)(s+6)}$

开环零点： $-4, \infty, \infty, \infty, m=1$

开环极点： $0, -1, -2, -6, n=4$

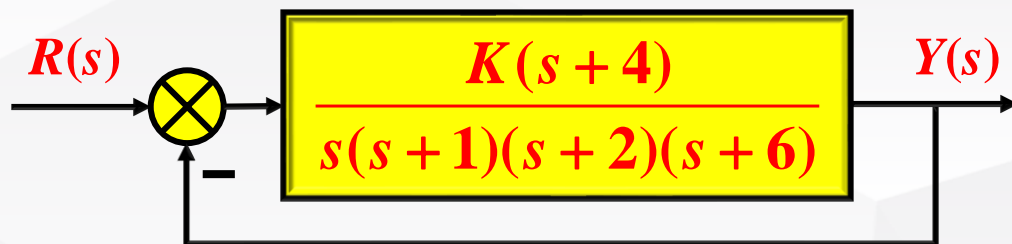
实轴上根轨迹： $(-\infty, -6), (-4, -2), (-1, 0)$



根轨迹概略图

§ 4.2 根轨迹的绘制

例：试绘制如下单位反馈系统的根轨迹概略图。



该系统的根轨迹概略图绘制如下：

解：开环传递函数为： $G_k(s) = \frac{K(s+4)}{s(s+1)(s+2)(s+6)}$

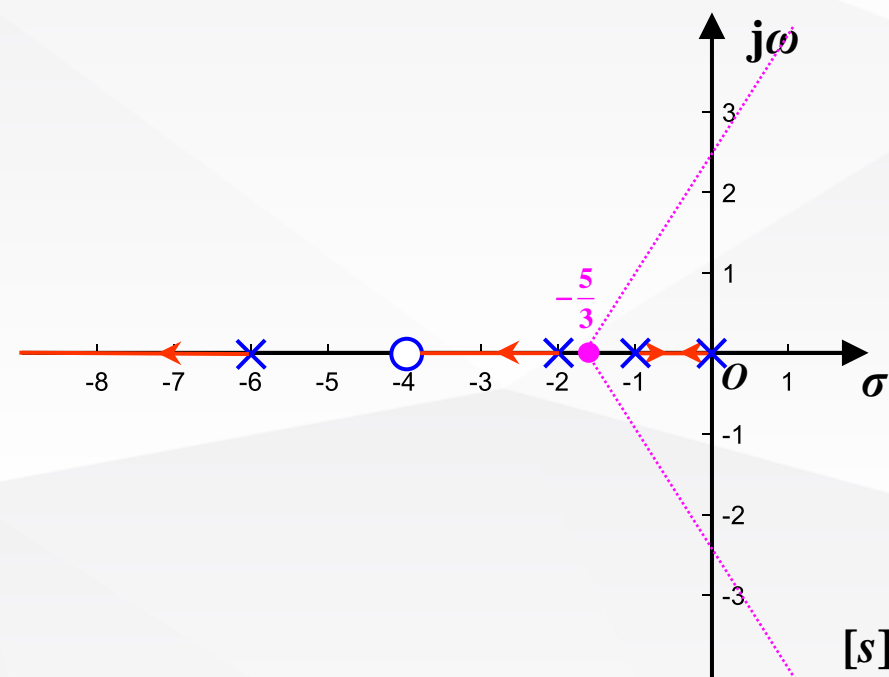
开环零点： $-4, \infty, \infty, \infty, m=1$

开环极点： $0, -1, -2, -6, n=4$

实轴上根轨迹： $(-\infty, -6), (-4, -2), (-1, 0)$

渐近线：

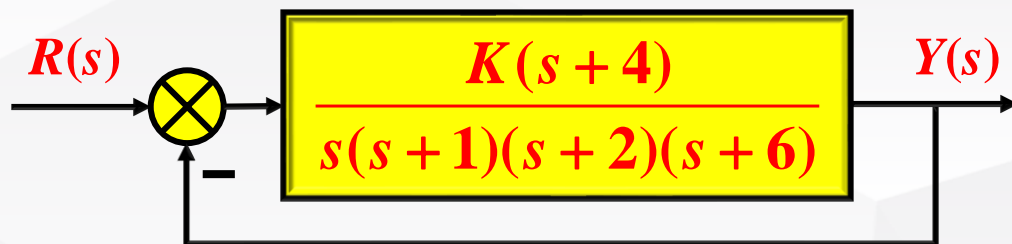
$$\sigma_a = \frac{\sum_{j=1}^n p_j - \sum_{i=1}^m z_i}{n-m} = -\frac{5}{3}, \quad \varphi_a = \frac{(2k+1)\pi}{n-m} = \begin{cases} 60^\circ, & k=0 \\ -60^\circ, & k=-1 \\ 180^\circ, & k=+1 \end{cases}$$



根轨迹概略图

§ 4.2 根轨迹的绘制

例：试绘制如下单位反馈系统的根轨迹概略图。



该系统的根轨迹概略图绘制如下：

解：开环传递函数为： $G_k(s) = \frac{K(s+4)}{s(s+1)(s+2)(s+6)}$

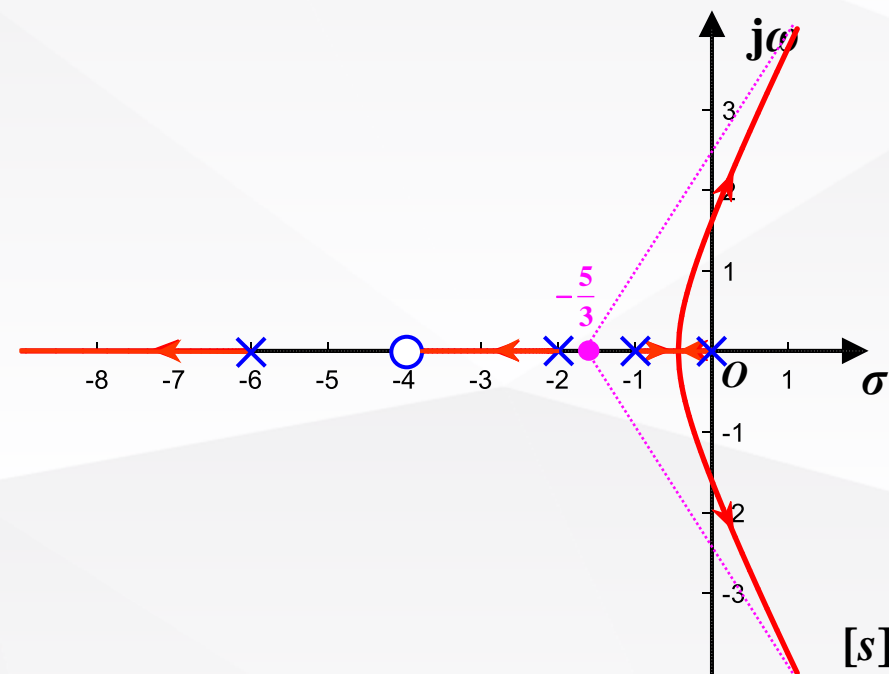
开环零点： $-4, \infty, \infty, \infty, m=1$

开环极点： $0, -1, -2, -6, n=4$

实轴上根轨迹： $(-\infty, -6), (-4, -2), (-1, 0)$

渐近线：

$$\sigma_a = \frac{\sum_{j=1}^n p_j - \sum_{i=1}^m z_i}{n-m} = -\frac{5}{3}, \quad \varphi_a = \frac{(2k+1)\pi}{n-m} = \begin{cases} 60^\circ, & k=0 \\ -60^\circ, & k=-1 \\ 180^\circ, & k=+1 \end{cases}$$



根轨迹概略图

§ 4.2 根轨迹的绘制

规则5：根轨迹分离点：两条或者两条以上的根轨迹分支在复平面上相遇又分离的点 d ，称为根轨迹的分离点；分离点 d 必在根轨迹上，且必为下列任一方程的解：

$$(1) \frac{dG_k(s)}{ds} = 0$$

$$(2) \frac{dK_g(s)}{ds} = 0, K_g \text{ 满足 } 1+G_k(s) = 0$$

$$(3) \sum_{j=1}^n \frac{1}{d-p_j} = \sum_{i=1}^m \frac{1}{d-z_i}$$

- 闭环特征方程的重根即为分离点，根的重数就是从分离点离开的根轨迹分支数；
- 在分离点处个根轨迹分支的切线之间的夹角是相等的。

§ 4.2 根轨迹的绘制

规则5： 证明根轨迹分离点 d 满足方程 (1) ~ (3) 。

证明： (1) 由于分离点 d 是闭环特征方程的重根，故有：

$$\begin{cases} [1+G_k(s)]|_{s=d} = 0 \\ \frac{d[1+G_k(s)]}{ds}|_{s=d} = \frac{dG_k(s)}{ds}|_{s=d} = 0 \end{cases}$$

(2) 将开环传递函数写为：

$$G_k(s) = K_g \frac{N(s)}{M(s)}$$

根据 (1) 知在分离点 d 处必有：

$$\frac{dG_k(s)}{ds} \Big|_{s=d} = -K_g \frac{M'(s)N(s) - M(s)N'(s)}{N^2(s)} \Big|_{s=d} = 0$$

由 K_g 满足闭环特征方程可得：

$$K_g(s) = -\frac{M(s)}{N(s)}$$

对 $K_g(s)$ 求一阶导数，在分离点 d 处有：

$$\frac{dK_g(s)}{ds} \Big|_{s=d} = -\frac{M'(s)N(s) - M(s)N'(s)}{N^2(s)} \Big|_{s=d} = 0$$

§ 4.2 根轨迹的绘制

规则5： 证明根轨迹分离点 d 满足方程 (1) ~ (3) 。

证明： (3) 将开环传递函数写为：

$$G_k(s) = K_g \frac{\prod_{i=1}^m (s - z_i)}{\prod_{j=1}^n (s - p_j)}$$

则系统的闭环特征多项式为：

$$\Delta(s) = \prod_{j=1}^n (s - p_j) + K_g \prod_{i=1}^m (s - z_i) = 0$$

对 $\Delta(s)$ 求一阶导数，在分离点 d 处有：

$$\left. \frac{d\Delta(s)}{ds} \right|_{s=d} = 0$$

即：

$$\sum_{j=1}^n \frac{\prod_{i=1}^n (d - p_i)}{d - p_j} + K_g \sum_{i=1}^m \frac{\prod_{j=1}^m (d - z_j)}{d - z_i} = 0$$

在分离点 d 处有 $G_k(d) = -1$ ，因此：

$$(-K_g) = \frac{\prod_{j=1}^n (d - p_i)}{\prod_{i=1}^m (d - z_i)} = \frac{\sum_{j=1}^n \frac{\prod_{i=1}^n (d - p_i)}{d - p_j}}{\sum_{i=1}^m \frac{\prod_{j=1}^m (d - z_j)}{d - z_i}}$$

§ 4.2 根轨迹的绘制

规则6：根轨迹与虚轴的交点：若根轨迹与虚轴相交，则意味着闭环特征方程出现纯虚根。此处的根轨迹增益称为**临界根轨迹增益**(记作 K_g^*)。

注：求解方法有两种：

(1) 在闭环特征方程中令 $s=j\omega$ ，然后分别令方程的实部和虚部均为零：

$$\begin{cases} \text{Re}[\Delta(j\omega)] = 0 \\ \text{Im}[\Delta(j\omega)] = 0 \end{cases}$$

联立两个方程可求得交点的坐标值和相应的根轨迹增益 K_g 。

(2) 根轨迹与虚轴相交表明系统在相应的 K_g 值下处于临界稳定状态，故可用劳斯判据求得交点的坐标值和相应的根轨迹增益 K_g 。

§ 4.2 根轨迹的绘制

规则7：根轨迹的出射角和入射角：

出射角：根轨迹离开开环极点处的切线与正实轴的夹角；

入射角：根轨迹进入开环零点处的切线与正实轴的夹角。

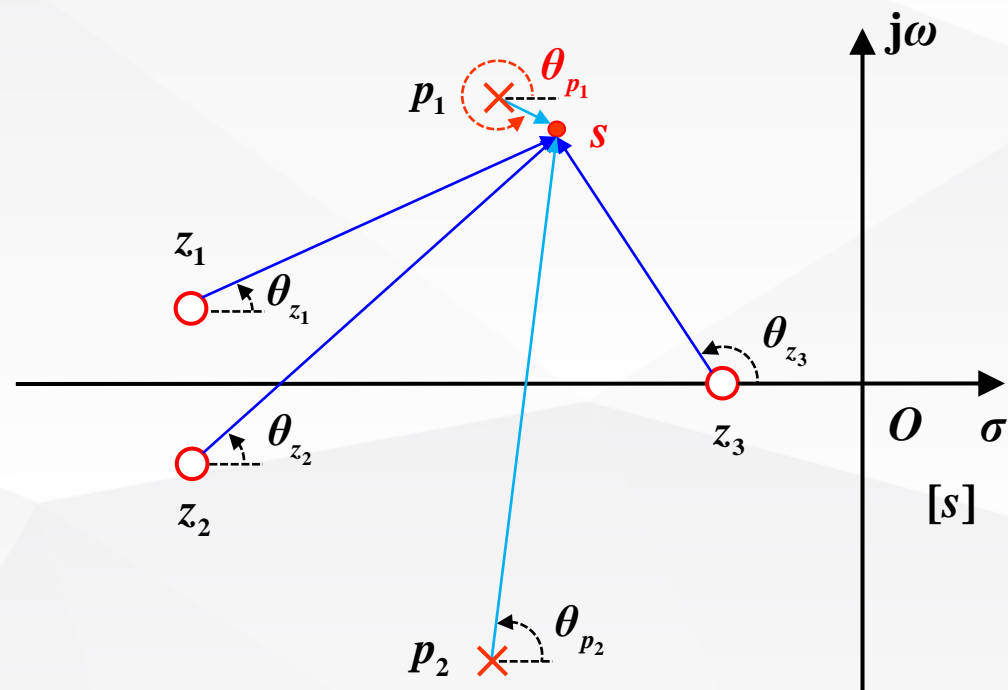
注：复数开环极点的出射角：

考察根轨迹上距离复数开环极点 p_1 无限近的点 s ，则根轨迹在开环极点 p_1 处的出射角为 θ_{p1} 。

根据辐角定理：

$$\theta_{p_1} = \theta_{z_1} + \theta_{z_2} + \theta_{z_3} - \theta_{p_2} - (2k+1) \times 180^\circ$$

其中： $k=0, \pm 1, \pm 2, \dots, \theta_{p_2} = 90^\circ$



复数开环极点出射角示意图

§ 4.2 根轨迹的绘制

规则7：根轨迹的出射角和入射角：

出射角：根轨迹离开开环极点处的切线与正实轴的夹角；

入射角：根轨迹进入开环零点处的切线与正实轴的夹角。

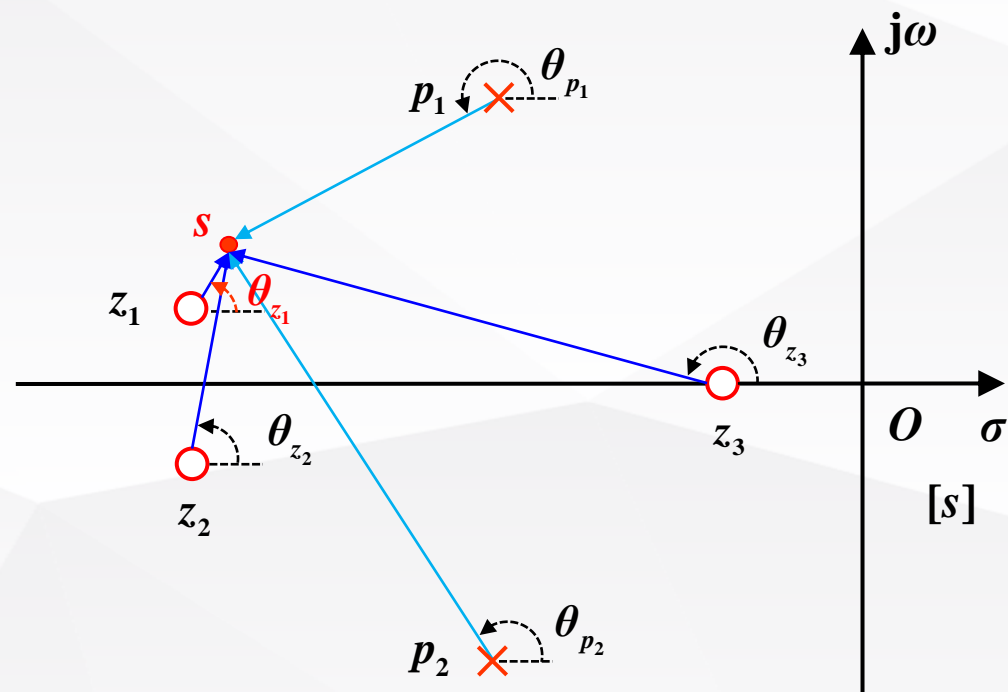
注：复数开环零点的入射角：

考察根轨迹上距离复数开环零点 z_1 无限近的点 s ，则根轨迹在开环极点 z_1 处的出射角为 θ_{z1} 。

根据辐角定理：

$$\theta_{z_1} = \theta_{p_1} + \theta_{p_2} - \theta_{z_2} - \theta_{z_3} + (2k + 1) \times 180^\circ$$

其中： $k=0, \pm 1, \pm 2, \dots, \theta_{z_2} = 90^\circ$



复数开环零点入射角示意图

§ 4.2 根轨迹的绘制

规则8：根之和：开环传递函数 $G_k(s)$ 的分子、分母阶次差 $n-m \geq 2$ 时，系统闭环极点之和等于系统开环极点之和：

$$\sum_{i=1}^n \lambda_i = \sum_{i=1}^n p_i = \text{定值}, \quad n - m \geq 2$$

注：开环传递函数为：

$$G_k(s) = K_g \frac{s^m + b_{m-1}s^{m-1} + \cdots + b_1s + b_0}{s^n + a_{n-1}s^{n-1} + \cdots + a_2s^2 + a_1s + a_0} \Rightarrow \sum_{i=1}^n p_i = -a_{n-1}$$

闭环传递函数为：

$$\begin{aligned} \Delta(s) &= s^n + a_{n-1}s^{n-1} + a_{n-2}s^{n-2} + a_{n-3}s^{n-3} + \cdots + a_0 \\ &\quad + K_g s^{n-2} + K_g b_{n-3}s^{n-3} + \cdots + K_g b_0 \\ &= s^n + a_{n-1}s^{n-1} + (a_{n-2} + K_g)s^{n-2} + (a_{n-3} + K_g b_{n-3})s^{n-3} + \cdots + (a_0 + K_g b_0) \end{aligned} \Rightarrow \sum_{i=1}^n \lambda_i = -a_{n-1}$$

§ 4.2 根轨迹的绘制

根轨迹绘制规则八条：

法则 1 根轨迹的起点和终点

法则 2 根轨迹的分支数，对称性和连续性

法则 3 实轴上的根轨迹

法则 4 渐近线
$$\sigma_a = \frac{\sum_{j=1}^n p_j - \sum_{i=1}^m z_i}{n - m}, \quad \varphi_a = \frac{(2k + 1)\pi}{n - m}, \quad k = 0, \pm 1, \pm 2, \dots$$

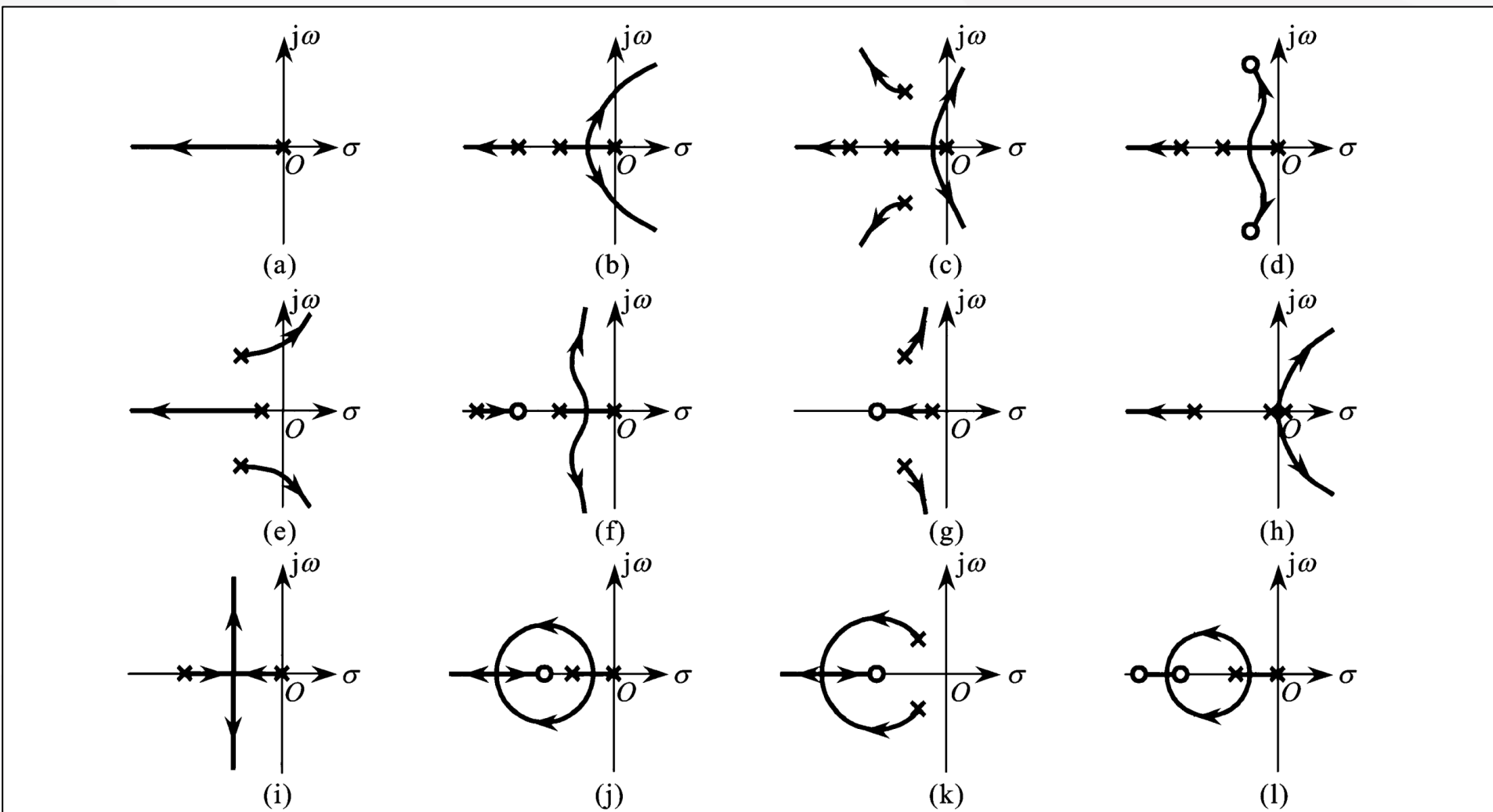
法则 5 分离点
$$\sum_{j=1}^n \frac{1}{d - p_j} = \sum_{i=1}^m \frac{1}{d - z_i}$$

法则 6 与虚轴交点 $\operatorname{Re}[\Delta(j\omega)] = \operatorname{Im}[\Delta(j\omega)] = 0$ or Routh

法则 7 出射角与入射角
$$\sum_{i=1}^m \angle(s - z_i) - \sum_{j=1}^n \angle(s - p_j) = (2k + 1) \times 180^\circ, \quad k = 0, \pm 1, \pm 2, \dots$$

法则 8 根之和
$$\sum_{i=1}^n \lambda_i = \sum_{i=1}^n p_i = \text{定值}, \quad n - m \geq 2$$

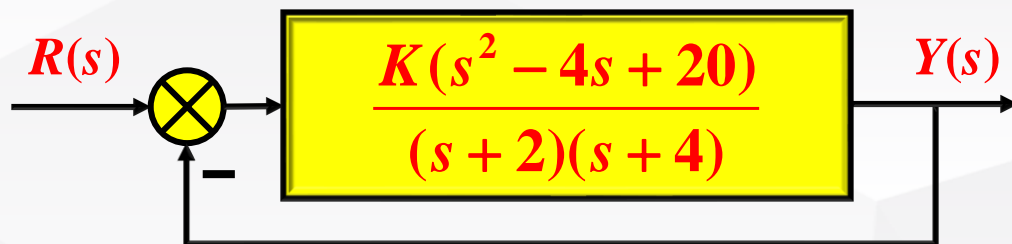
§ 4.2 根轨迹的绘制：常见开环零极点分布及根轨迹概略图



常见的开环零极点分布及其根轨迹的概略图

§ 4.2 根轨迹的绘制

例：试绘制如下单位反馈系统的根轨迹概略图。



解：开环零点： $+2-j4, +2+j4$, $m=2$

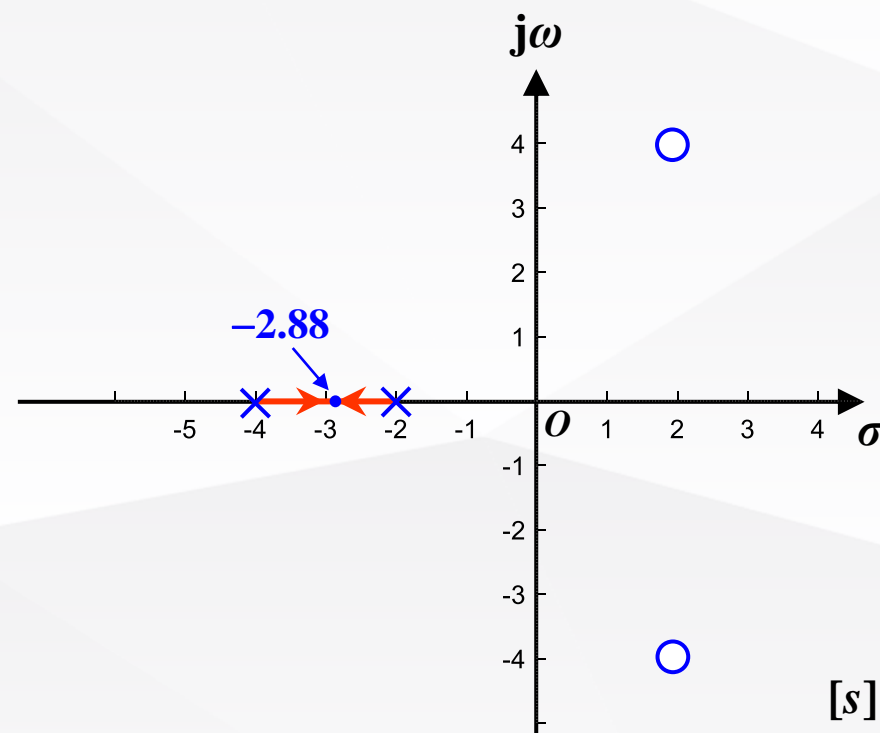
开环极点： $-4, -2$, $n=2$

实轴上根轨迹： $(-4, -2)$

分离点： $\sum_{j=1}^2 \frac{1}{d - p_j} = \sum_{i=1}^2 \frac{1}{d - z_i} \rightarrow d = -2.88$

渐近线： $m=n$ ，故无渐近线

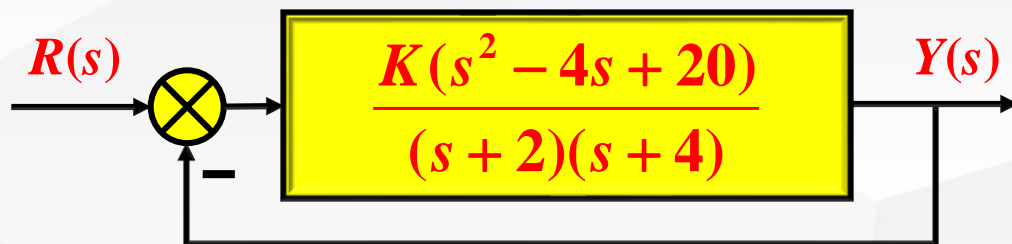
该系统的根轨迹概略图绘制如下：



根轨迹概略图

§ 4.2 根轨迹的绘制

例：试绘制如下单位反馈系统的根轨迹概略图。



解：开环零点： $+2-j4, +2+j4$, $m=2$

开环极点： $-4, -2$, $n=2$

实轴上根轨迹： $(-4, -2)$

分离点： $\sum_{j=1}^2 \frac{1}{d - p_j} = \sum_{i=1}^2 \frac{1}{d - z_i} \rightarrow d = -2.88$

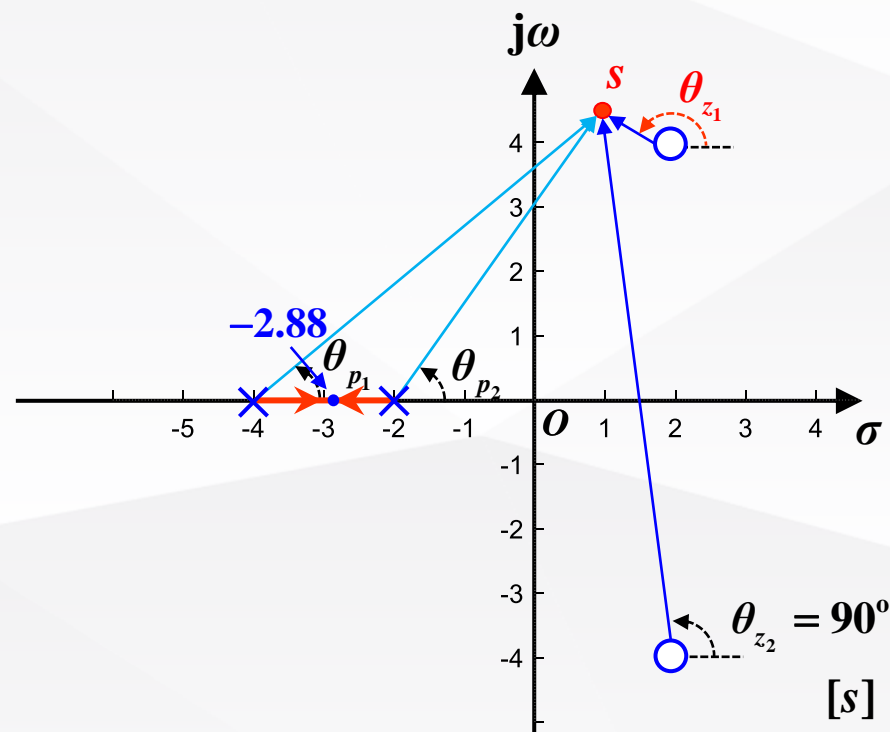
渐近线： $m=n$, 故无渐近线

入射角： $\theta_{z_1} = \theta_{p_1} + \theta_{p_2} - \theta_{z_2} + (2k+1) \times 180^\circ$

$$= \arctan \frac{2}{3} + \arctan 1 - 90^\circ + 180^\circ$$

$$= 33.7^\circ + 45^\circ + 90^\circ = 168.7^\circ \quad \theta_{z_2} = -168.7^\circ$$

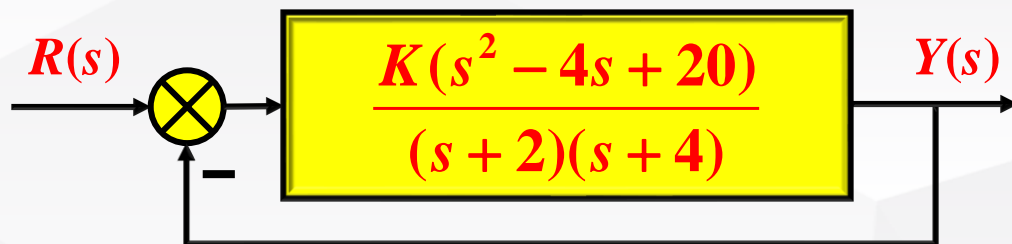
该系统的根轨迹概略图绘制如下：



根轨迹概略图

§ 4.2 根轨迹的绘制

例：试绘制如下单位反馈系统的根轨迹概略图。



该系统的根轨迹概略图绘制如下：

解：开环零点： $+2-j4, +2+j4$, $m=2$

开环极点： $-4, -2$, $n=2$

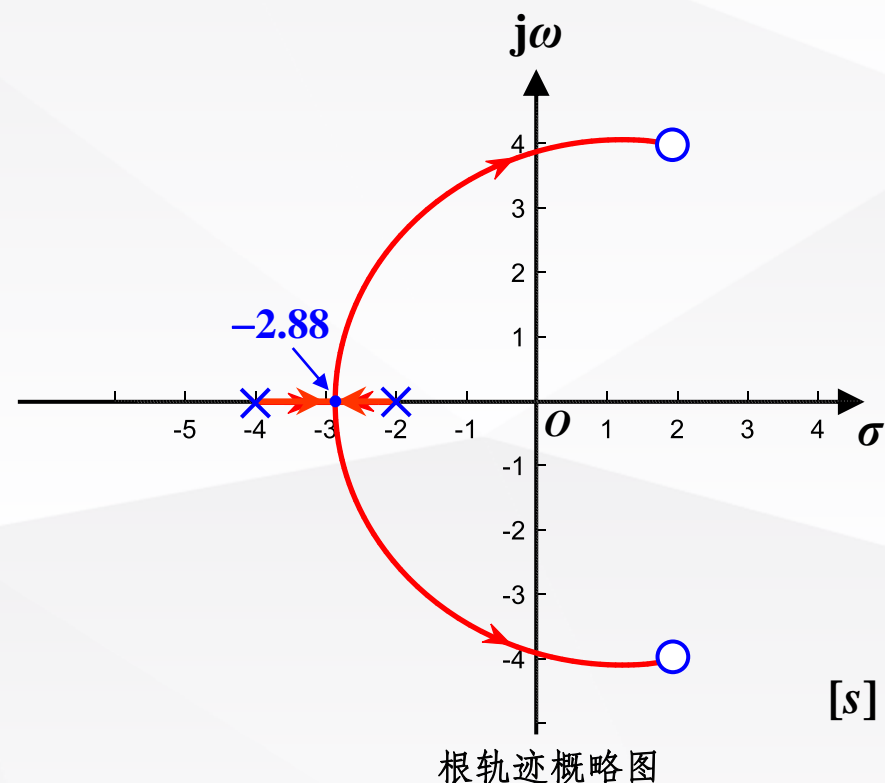
实轴上根轨迹： $(-4, -2)$

分离点： $\sum_{j=1}^2 \frac{1}{d - p_j} = \sum_{i=1}^2 \frac{1}{d - z_i} \rightarrow d = -2.88$

渐近线： $m=n$ ，故无渐近线

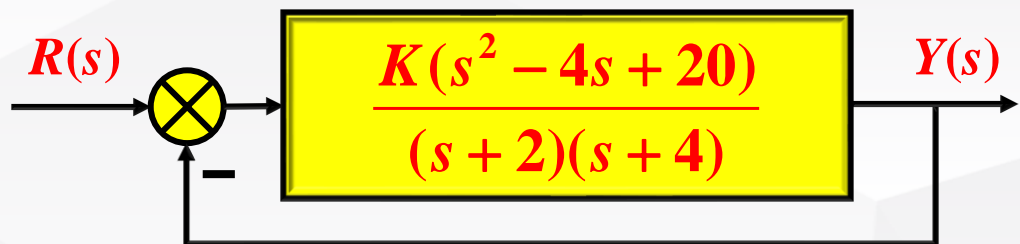
入射角： $\theta_{z_1} = 168.7^\circ, \theta_{z_2} = -168.7^\circ$

出射角：开环极点在实轴上，无需考虑



§ 4.2 根轨迹的绘制

例：试绘制如下单位反馈系统的根轨迹概略图。



坐标系比例变化后系统根轨迹概略图绘制如下：

解：开环零点： $+2-j4, +2+j4$, $m=2$

开环极点： $-4, -2$, $n=2$

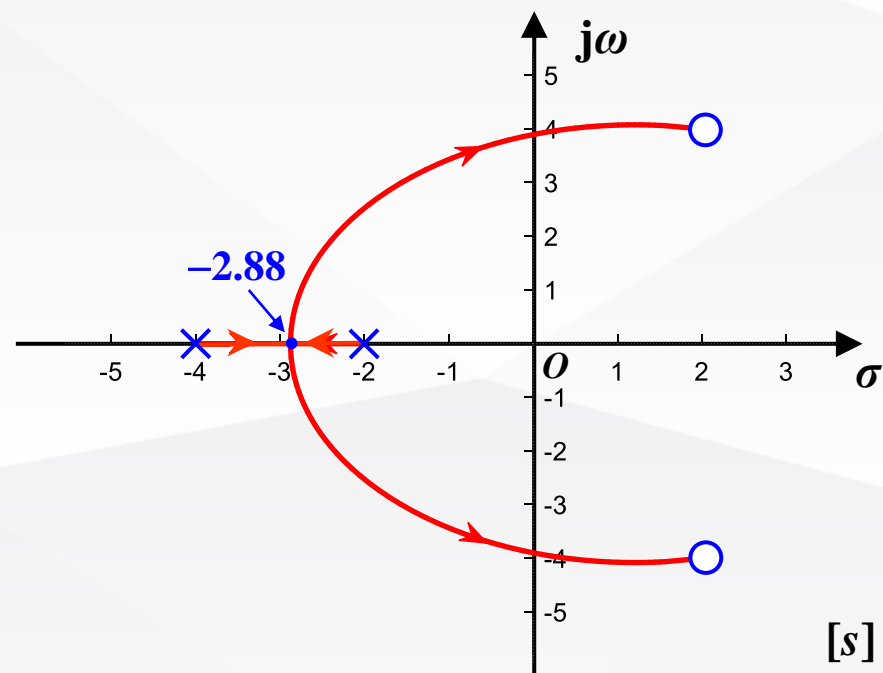
实轴上根轨迹： $(-4, -2)$

分离点： $\sum_{j=1}^2 \frac{1}{d - p_j} = \sum_{i=1}^2 \frac{1}{d - z_i} \rightarrow d = -2.88$

渐近线： $m=n$ ，故无渐近线

入射角： $\theta_{z_1} = 168.7^\circ, \theta_{z_2} = -168.7^\circ$

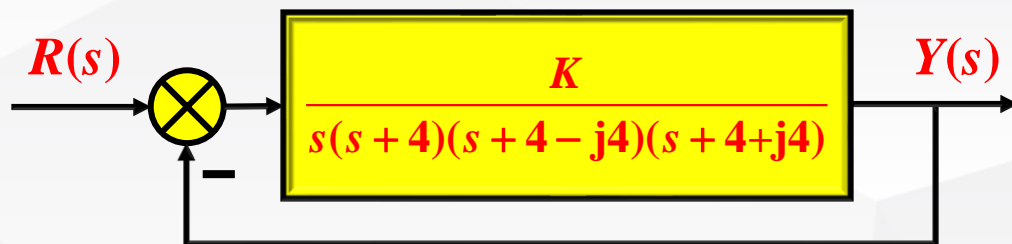
出射角：开环极点在实轴上，无需考虑



坐标系比例变化后根轨迹概略图

§ 4.2 根轨迹的绘制

例：试绘制如下单位反馈系统的根轨迹概略图。



解：开环零点： $-\infty, -\infty, -\infty, -\infty$, $m=0$

开环极点： $-4 \pm j4, -4, 0$, $n=4$

实轴上根轨迹： $(-4, 0)$

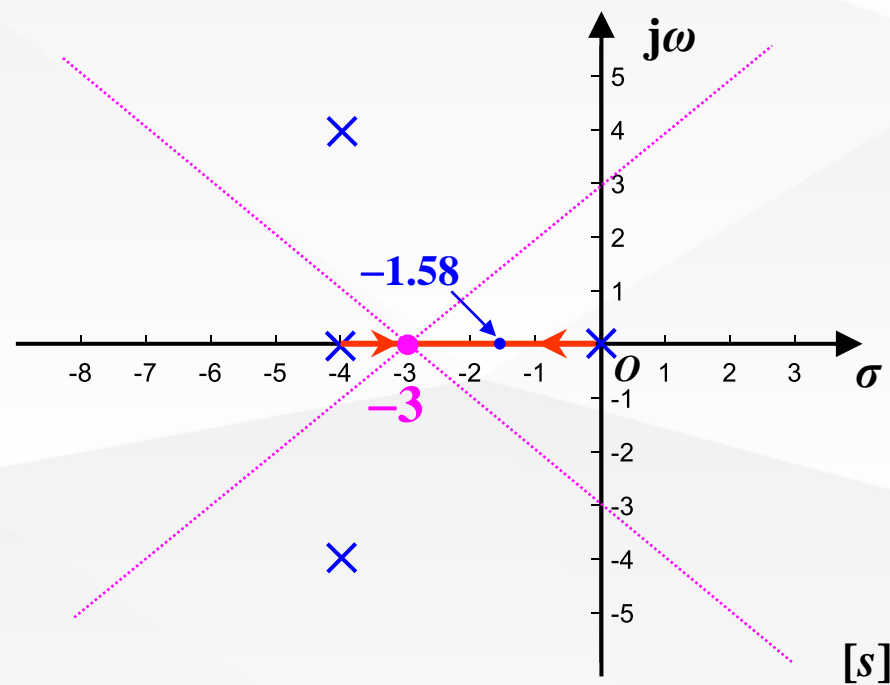
渐近线：

$$\sigma_a = \frac{\sum_{j=1}^n p_j - \sum_{i=1}^m z_i}{n-m} = -3, \quad \varphi_a = \frac{(2k+1)\pi}{n-m} = \begin{cases} 45^\circ, & k=0 \\ -45^\circ, & k=-1 \\ 135^\circ, & k=+1 \\ -135^\circ, & k=-2 \end{cases}$$

分离点： $K_g(s) = -(s^4 + 12s^3 + 64s^2 + 128s)$

$$K'_g(s) = -4(s^3 + 9s^2 + 32s + 32) = 0 \rightarrow d = -1.58$$

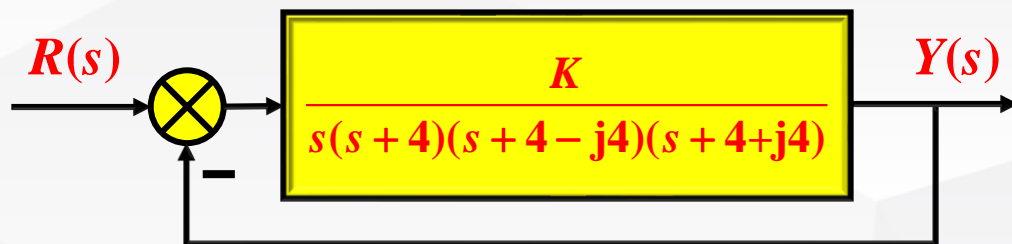
该系统的根轨迹概略图绘制如下：



根轨迹概略图

§ 4.2 根轨迹的绘制

例： 试绘制如下单位反馈系统的根轨迹概略图。



解： 开环零点： $-\infty, -\infty, -\infty, -\infty$, $m=0$

开环极点： $-4 \pm j4, -4, 0$, $n=4$

实轴上根轨迹： $(-4, 0)$

入射角： 无有限开环零点，无需考虑

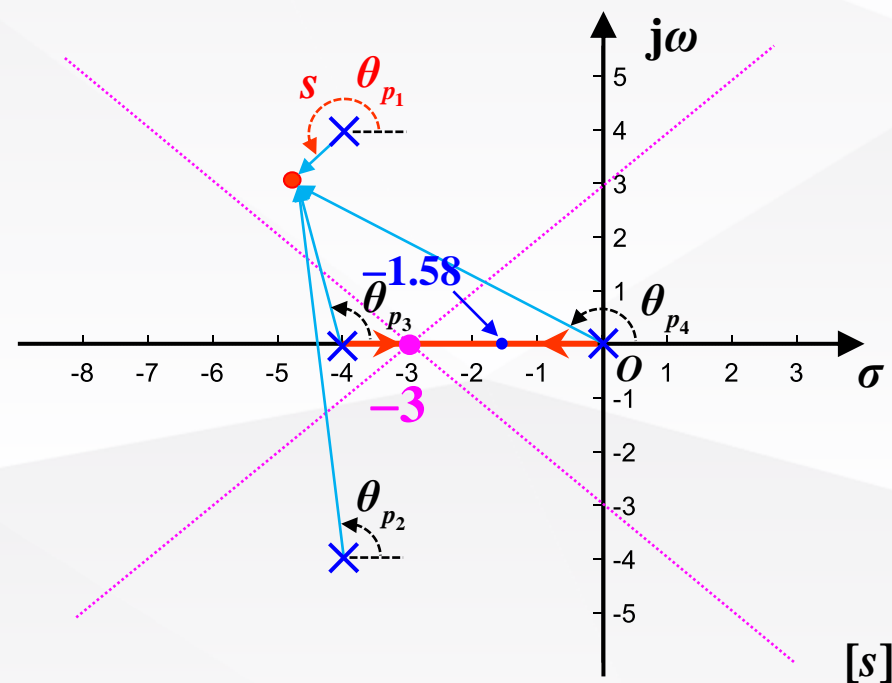
出射角： $\theta_{p_1} = -\theta_{p_2} - \theta_{p_3} - \theta_{p_4} + (2k+1) \times 180^\circ$

$$= -90^\circ - 90^\circ - 135^\circ + 180^\circ$$

$$= -135^\circ$$

$$\theta_{p_2} = 0^\circ - \theta_{p_1} = 135^\circ$$

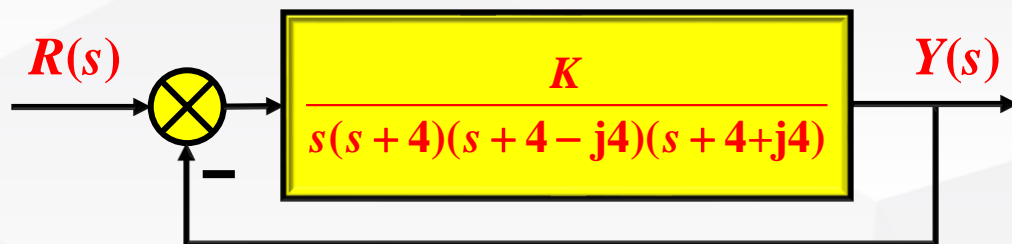
该系统的根轨迹概略图绘制如下：



根轨迹概略图

§ 4.2 根轨迹的绘制

例：试绘制如下单位反馈系统的根轨迹概略图。



解：开环零点： $-\infty, -\infty, -\infty, -\infty$, $m=0$

开环极点： $-4 \pm j4, -4, 0$, $n=4$

实轴上根轨迹： $(-4, 0)$

渐近线：

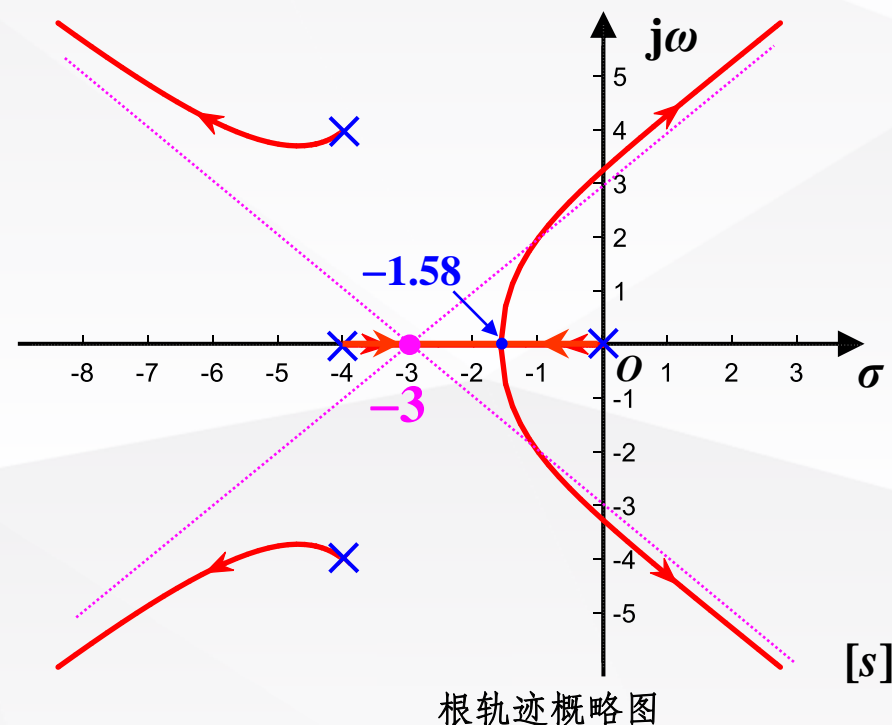
$$\sigma_a = \frac{\sum_{j=1}^n p_j - \sum_{i=1}^m z_i}{n-m} = -3, \quad \varphi_a = \frac{(2k+1)\pi}{n-m} = \begin{cases} 45^\circ, & k=0 \\ -45^\circ, & k=-1 \\ 135^\circ, & k=+1 \\ -135^\circ, & k=-2 \end{cases}$$

分离点： $d = -1.58$

入射角：无有限开环零点，无需考虑

出射角： $\theta_{p_1} = -135^\circ$, $\theta_{p_2} = 135^\circ$

该系统的根轨迹概略图绘制如下：

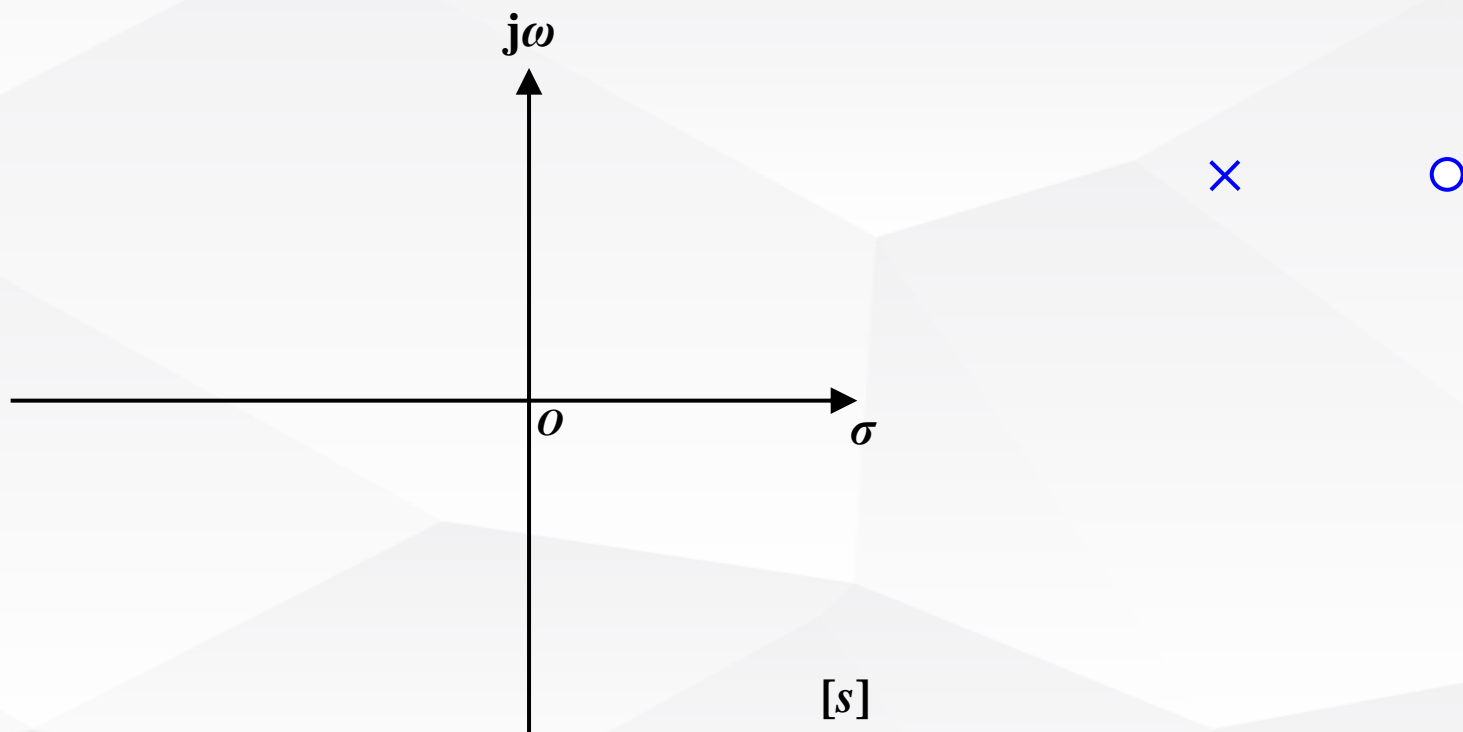


§ 4.2 根轨迹的绘制

补充例1 $G(s) = \frac{K(s+2)}{(s^2+4s+9)^2}$ 根轨迹

补充例2: 设反馈控制系统中 $G(s) = \frac{K^*}{s^2(s+2)(s+5)}$, $H(s) = 1$

- 1) 概略绘制系统根轨迹图, 并判断系统稳定性;
- 2) 如果 $H(s) = 1+2s$, 试判断 $H(s)$ 改变后系统稳定性, 并研究 $H(s)$ 改变所产生的影响。



根轨迹概略图